

## Об одном методе численного решения осесимметрических течений со свободной границей

*И. И. Данилюк, Л. Н. Тарасенко*

1. Рассматриваемый класс задач характеризуется значительными математическими трудностями, вызванными тремя различными причинами. Во-первых, область течения заранее неизвестна и ее граница должна быть определена одновременно с полем скоростей. Во-вторых, на этой неизвестной границе должно выполняться вытекающее из закона Бернулли нелинейное условие на абсолютное значение скорости. В-третьих, область течения бесконечна и содержит внутри себя ось симметрии, на которой коэффициенты дифференциальных уравнений обращаются в бесконечность первого порядка. Первые два обстоятельства делают задачу нелинейной. В плоском случае вызванные нелинейностью трудности очень часто удается преодолеть при помощи методов теории функций комплексного переменного. Третье обстоятельство, вызванное параболическим вырождением системы дифференциальных уравнений, описывающих поле скоростей пространственного осесимметрического течения, в сочетании с первыми двумя сильно затрудняет проведение качественного исследования задачи аналитическими средствами. И только в том случае, когда по самому смыслу задачи ось вырождения находится вне области течения, появляется реальная возможность полного качественного изучения задачи аналитическими методами. Такой случай возникает в задаче о торовидных движениях со свободной границей, и при помощи методов, восходящих в конечном итоге к теории функций комплексного переменного, удается преодолеть трудности, вызванные нелинейным характером задачи [1—3]. В данной работе рассматривается задача об осесимметрическом соударении двух струй идеальной несжимаемой жидкости и для ее исследования предлагается метод численного анализа.

2. Введем цилиндрическую систему координат  $(x, r)$ , где  $x$  — переменная вдоль оси симметрии, а  $r$  — расстояние от оси. В осесимметрическом случае векторное поле скоростей  $\vec{V}$  характеризуется двумя компонентами  $V_x, V_r$  вдоль соответствующих осей. Для идеальной несжимаемой жидкости при отсутствии источников и вихрей пара функций  $V_x(x, r), V_r(x, r)$  определяется системой дифференциальных уравнений первого порядка

$$\frac{\partial}{\partial x}(rV_x) + \frac{\partial}{\partial r}(rV_r) = 0, \quad (1)$$

$$\frac{\partial}{\partial x}V_r - \frac{\partial}{\partial r}V_x = 0.$$

Дополнительные условия формулируются в зависимости от характера рассматриваемой задачи. Мы рассмотрим задачу об осевом соударении двух

осесимметрических струй одинаковой толщины с одной и той же плотностью и с одинаковыми по абсолютной величине скоростями на бесконечности. Свободная граница  $\gamma$  течения будет состоять из четырех линий, образующих симметричную относительно обеих координатных осей конфигурацию. В каждой конечной точке линий  $\gamma$  должно выполняться условие

$$V_r dx - V_x dr = 0, \quad (2)$$

выражающее тот факт, что  $\gamma$  является линией тока поля скоростей  $(V_x, V_r)$ . Пусть  $V_\infty$  — абсолютное значение скорости струй на бесконечности. Если  $V_\infty$  достаточно велико, то силы инерции являются преобладающими в системе всех сил, действующих на жидкость. Пренебрегая этими силами,

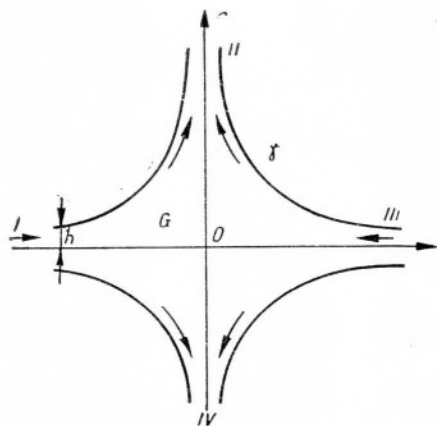


Рис. 1.

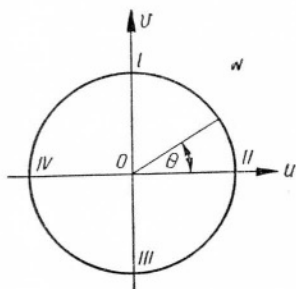


Рис. 2.

в частности силой земного притяжения, мы приходим к условию постоянства модуля скорости  $|\vec{V}|$  на  $\gamma$ :

$$V_x^2(x, r) + V_r^2(x, r) = V_\infty^2, \quad (3)$$

вытекающему из закона Бернулли для невесомой жидкости. Теперь постановку задачи можно сформулировать так: требуется определить область вида  $G$  (рис. 1), свободная граница  $\gamma$  которой имеет вдоль оси  $x$  горизонтальную асимптоту  $r = h$  с заданным  $h > 0$ , и регулярное в  $G$  решение системы (1), удовлетворяющее на  $\gamma$  условиям (2), (3), причем  $V_\infty$  — заданное абсолютное значение скорости на бесконечности.

3. Вместо пары действительных функций  $V_x, V_r$  действительных переменных  $x, r$  рассмотрим комплекснозначную функцию  $w \equiv V_r + iV_x$ . Полагая  $z = x + ir$  и вводя дифференциальные операторы

$$\frac{\partial}{\partial \bar{z}} = \frac{1}{2} \left( \frac{\partial}{\partial x} + i \frac{\partial}{\partial r} \right), \quad \frac{\partial}{\partial z} = \frac{1}{2} \left( \frac{\partial}{\partial x} - i \frac{\partial}{\partial r} \right),$$

мы сможем систему уравнений (1) записать в виде одного комплексного уравнения

$$\frac{\partial w}{\partial \bar{z}} - \frac{1}{4ir} w - \frac{1}{4ir} \bar{w} = 0 \quad (\text{внутри } G). \quad (4)$$

Условия же (2), (3) могут быть представлены следующим образом:

$$\operatorname{Re}[w dz] = 0, \quad |w| = V_\infty \quad (\text{на } \gamma). \quad (5)$$

Предположим, что функция  $w(z) \equiv w(x, r)$  является решением задачи (4), (5). Тогда нетрудно убедиться, что эта функция реализует однолистное отображение области  $G$ , расположенной в физической плоскости

$z = x + ir$ , на внутренность круга  $|\omega| \leq V_\infty$ , расположенного в плоскости годографа  $\omega = V_r + iV_x \equiv u + iv$  (рис. 2). При этом свободная граница  $\gamma$  отображается на окружность  $|\omega| = V_\infty$  с сохранением ориентации. Нетрудно видеть, что достаточно рассмотреть случай  $V_\infty = 1$ . Полученное поле скоростей  $\omega(x, r)$  следует затем умножить на вещественное число  $V_\infty$ , чтобы получить поле скоростей в общем случае.

Теперь рассмотрим в качестве искомой функцию  $z = z(\omega)$ , обратную к функции  $\omega = \omega(z)$ . Воспользовавшись связью между частными производными взаимно обратных функций  $\omega(z)$ ,  $z(\omega)$ , перепишем уравнение (4) в виде

$$\frac{\partial z}{\partial \omega} - q(\omega, z, z_\omega) \frac{\partial z}{\partial \bar{\omega}} = 0, \quad (6)$$

где

$$\frac{\partial}{\partial \bar{\omega}} = \frac{1}{2} \left( \frac{\partial}{\partial u} + i \frac{\partial}{\partial v} \right), \quad \frac{\partial}{\partial \omega} = \frac{1}{2} \left( \frac{\partial}{\partial u} - i \frac{\partial}{\partial v} \right),$$

$$q = \frac{i \frac{\partial \bar{z}}{\partial \bar{\omega}}}{\frac{r}{u} + \sqrt{\frac{r^2}{u^2} + \left| \frac{\partial z}{\partial \bar{\omega}} \right|^2}}. \quad (7)$$

Второе условие (5), эквивалентное закону Бернулли (3), при переходе к плоскости  $\omega$  «линеаризуется» и означает просто, что решение  $z(\omega)$  уравнения (6) должно быть определено в круге  $|\omega| \leq V_\infty$ . Первое граничное условие (5), эквивалентное условию обтекания (2), может быть теперь представлено в виде

$$\operatorname{Re} \left( e^{i\theta} \frac{dz}{d\theta} \right) \equiv \frac{\partial x}{\partial \theta} \cos \theta - \frac{\partial r}{\partial \theta} \sin \theta = 0, \quad 0 \leq \theta \leq 2\pi, \quad (8)$$

на единичной окружности  $\omega = e^{i\theta}$ . Мы показали, таким образом, что задача (4), (5) редуцируется к эквивалентной задаче, в которой требуется определить в единичном круге  $|\omega| < 1$  однолиственное решение  $z(\omega)$  уравнения (6), удовлетворяющее граничному условию (8) и отображающее круг  $|\omega| < 1$  на область вида  $G$ . Образ  $\gamma$  единичной окружности  $|\omega| = 1$  при этом отображении и будет искомой свободной границей.

Несмотря на сильную нелинейность уравнения (6), которому должна удовлетворять новая неизвестная функция  $z(\omega)$ , простота области определения функции, а именно, единичный круг  $|\omega| = 1$  и линейный характер граничного условия (8) определяют некоторые преимущества новой записи задачи по сравнению с исходной, в частности, позволяют предложить некоторый численный метод расчета задачи об осесимметрическом соударении струй.

4. Переменные  $r$  и  $u = V_r$  имеют один и тот же знак, следовательно, их отношение  $r/u$  неотрицательно. Отсюда следует, что функция  $q$ , определенная при помощи последней формулы (7), удовлетворяет неравенству  $|q| \leq 1$ . Знак равенства достигается при  $(r/u) = 0$ . Если бы функция  $q$ , входящая в уравнение (6), удовлетворяла условию вида  $|q| \leq q_0 < 1$ ,  $q_0 = \text{const}$ , то уравнение (6) было бы равномерно эллиптическим и для его исследования можно было бы применить существующие методы (см. [4]). Этот подход можно реализовать и в том случае, когда для определенного класса функций  $z(\omega)$  удастся установить априорную оценку  $|q| \leq q_0 < 1$ , как это сделано в работах А. Игликова [1—3]. К сожалению, аналогичных оценок не удастся получить в рассматриваемой нами задаче. В связи с этим в данной статье предлагается численный метод разыскания решения задачи (6), (8) в единичном круге.

Предлагаемый метод состоит в реализации следующей схемы. Обозначим через  $z_0(\omega)$  решение плоской задачи о встрече струй с теми же геометрическими и кинематическими характеристиками на бесконечности. Это соответствует тому случаю задачи (6), (8), который отвечает нулевой функции  $q$  ( $q \equiv 0$ ) в уравнении (6). Решение  $z_0(\omega)$  легко выписывается с помощью интегрирования элементарных функций от комплексного переменного (см., например, [5, § 6]). Подставим затем в коэффициент  $q$  вместо точного решения  $z(\omega)$  функцию  $z_0(\omega)$ . Мы получим тогда линейную задачу (6), (8), в которой  $q = q(\omega, z_0, z_{0\omega})$ . Допустим, что мы смогли решить эту линейную задачу, и пусть  $z_1(\omega)$  — ее решение. Распорядившись этой функцией так, как на первом шагу мы распорядились функцией  $z_0(\omega)$ , приходим к новой линейной задаче (6), (8), в которой  $q = q(\omega, z_1, z_{1\omega})$ . Возникающая при этом последовательность функций  $\{z_n(\omega)\}$  в какой-то степени дает все более точные приближения к истинному решению нелинейной задачи (6), (8).

Для численного решения задачи вида (6), (8) в линейном случае введем обозначения  $\omega = \varrho e^{i\theta}$ ,  $q = q_1 + iq_2$ . Поскольку

$$\frac{\partial}{\partial \omega} = \frac{e^{i\theta}}{2} \left( \frac{\partial}{\partial \varrho} + \frac{i}{\varrho} \frac{\partial}{\partial \theta} \right), \quad \frac{\partial}{\partial \bar{\omega}} = \frac{e^{-i\theta}}{2} \left( \frac{\partial}{\partial \varrho} - \frac{i}{\varrho} \frac{\partial}{\partial \theta} \right),$$

то одно комплексное уравнение (6) можно записать в виде системы двух вещественных дифференциальных уравнений

$$\begin{aligned} \frac{\partial x}{\partial \varrho} &= \alpha \frac{\partial r}{\partial \theta} + \beta \frac{\partial r}{\partial \varrho}, \\ -\frac{\partial x}{\partial \theta} &= \beta \frac{\partial r}{\partial \theta} + \gamma \frac{\partial r}{\partial \varrho}, \end{aligned} \quad (9)$$

если для краткости ввести обозначения

$$\alpha = \frac{(1+c_1)^2 + c_2^2}{\varrho(1-c_1^2 - c_2^2)}, \quad \beta = \frac{-2c_2}{1-c_1^2 - c_2^2}, \quad \gamma = \varrho \frac{(1-c_1)^2 + c_2^2}{1-c_1^2 - c_2^2}, \quad (10)$$

$$c_1 = q_1 \cos 2\theta + q_2 \sin 2\theta, \quad c_2 = -q_1 \sin 2\theta + q_2 \cos 2\theta.$$

Система дифференциальных уравнений (9) имеет эллиптический тип во всех точках, где регулярны ее коэффициенты, ибо нетрудно проверить, что имеют место следующие условия:

$$\alpha > 0, \quad \gamma > 0, \quad \alpha\gamma - \beta^2 = 1. \quad (11)$$

По непрерывности равенства (9) будут выполняться и во всех граничных точках единичной окружности  $\omega = e^{i\theta}$ ,  $0 \leq \theta \leq 2\pi$ , за исключением, быть может, точек I — IV (см. рис. 2). Система (9) может быть также разрешена относительно производных от функции  $r(\varrho, \theta)$ :

$$\frac{\partial r}{\partial \theta} = \gamma \frac{\partial x}{\partial \varrho} + \beta \frac{\partial x}{\partial \theta}, \quad -\frac{\partial r}{\partial \varrho} = \beta \frac{\partial x}{\partial \varrho} + \alpha \frac{\partial x}{\partial \theta}. \quad (12)$$

Пользуясь первым уравнением, исключим из граничного условия (8) производную  $\frac{\partial r}{\partial \theta}$ . Мы получим условие

$$(\cos \theta - \beta \sin \theta) \frac{\partial x}{\partial \theta} - \gamma \sin \theta \frac{\partial x}{\partial \varrho} = 0 \quad (\varrho = 1), \quad (13)$$

содержащее только одну неизвестную функцию  $x(\varrho, \theta)$ . Исключая из системы (12) неизвестную  $r(\varrho, \theta)$ , получим одно дифференциальное уравнение второго порядка

$$\frac{\partial}{\partial \theta} \left( \alpha \frac{\partial x}{\partial \theta} + \beta \frac{\partial x}{\partial \varrho} \right) + \frac{\partial}{\partial \varrho} \left( \beta \frac{\partial x}{\partial \theta} + \gamma \frac{\partial x}{\partial \varrho} \right) = 0. \quad (14)$$

Мы приходим, таким образом, к задаче с наклонной производной (13) для уравнения (14).

Допустим, что мы решили задачу (13), (14) и нашли решение  $x(\varrho, \theta)$ .

Из условия (8) находим значения производной  $\frac{\partial r}{\partial \theta} = \frac{\partial x}{\partial \theta} \operatorname{ctg} \theta$  на окружности  $\varrho = 1$ . Из соответствия точек, указанного на рис. 1 и 2, следует, что  $r\left(1, \frac{\pi}{2}\right) = h$ , где  $h$  — радиус струи на бесконечности. Следовательно,

$$r(1, \theta) = h - \int_{\theta}^{\frac{\pi}{2}} \frac{\partial x}{\partial \theta} \operatorname{ctg} \theta d\theta, \quad 0 \leq \theta \leq \frac{\pi}{2}. \quad (15)$$

В остальных точках единичной окружности  $\omega = e^{i\theta}$  значения функции  $r(1, \theta)$  определяются из условия симметричности свободной границы относительно координатных осей. Из системы (12) во всех внутренних точках определяются значения производных, а затем и значения функции  $r(\varrho, \theta)$ . Полученная функция  $r(\varrho, \theta)$  будет удовлетворять, как следует из системы (9), уравнению второго порядка

$$\frac{\partial}{\partial \theta} \left( \alpha \frac{\partial r}{\partial \theta} + \beta \frac{\partial r}{\partial \varrho} \right) + \frac{\partial}{\partial \varrho} \left( \beta \frac{\partial r}{\partial \theta} + \gamma \frac{\partial r}{\partial \varrho} \right) = 0 \quad (16)$$

и условию Дирихле с граничной функцией (15). Последовательность определения функций  $x$  и  $r$  можно обратить, если из граничного условия (8) исключить не функцию  $r$ , а функцию  $x$ , пользуясь вторым уравнением (9). В этом и другом случае выполнение всех указанных операций приводит к решению задачи (6), (8) в линейном случае.

5. Из отмеченной выше симметрии вытекает, что задачу (13), (14) достаточно решить в первой четверти круга  $0 \leq \varrho \leq 1, 0 \leq \theta \leq \frac{\pi}{2}$ . Покроем эту область сеткой с шагом  $\Delta$  по переменной  $\theta$  и шагом  $\delta$  по переменной  $\varrho$ , считая при этом, что числа  $n = \pi/2\Delta, m = 1/\delta$  являются целыми. На рис. 3 изображена эта сетка при  $n = 4, m = 5$ . Жирными кружочками отмечены точки рассматриваемой сетки, в которых известны значения искомой функции. На горизонтальном радиусе  $\theta = 0$  функция  $x(\varrho, \theta)$  равна нулю, поскольку этому радиусу на физической плоскости отвечает ось  $r$ . Конечная точка вертикального радиуса  $\left(\theta = \frac{\pi}{2}\right)$  соответствует в физической плоскости точке  $x = -\infty$ , и в конечноразностной аппроксимации мы можем положить в этой точке  $x = -10h$  (или  $-100h$ ), где  $h$  — радиус струи. Легко подсчитать, что число точек нашей сетки, где значения функции  $x(\varrho, \theta)$  неизвестны, равно  $N = mn - 1$ . Мы должны, следовательно, получить ровно  $N$  уравнений для определения этих неизвестных.

Разделим оставшиеся точки на две группы — внутренние и граничные. К граничным точкам отнесем те точки нашей сетки, которые находятся на единичной окружности  $\varrho = 1$ . Таких точек будет ровно  $N_1 = n - 1$ . Все остальные точки называются внутренними. Их общее число равно

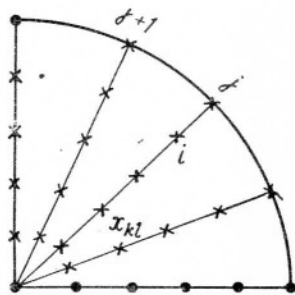


Рис. 3.

$N_2 = n(m-1) = N - N_1$ . Чтобы представить граничное условие (13) в точке с номером  $j$  через конечноразностные отношения, положим (см. рис. 3):

$$\left(\frac{\partial x}{\partial \theta}\right)_j = \frac{x_{j+1} - x_j}{\Delta}, \quad \left(\frac{\partial x}{\partial \varrho}\right)_j = \frac{x_j - x_i}{\delta}.$$

Тогда, как показывают элементарные преобразования, получаем

$$\left[ \frac{\cos \theta_j - \beta_j \sin \theta_j}{\Delta} + \frac{\gamma_j \sin \theta_j}{\delta} \right] x_j - \frac{\cos \theta_j - \beta_j \sin \theta_j}{\Delta} x_{j+1} - \frac{\gamma_j \sin \theta_j}{\delta} x_i = 0, \quad j = 1, 2, \dots, n-1. \quad (17)$$

Перед тем, как записать конечноразностную аппроксимацию для уравнения (14), запишем его в развернутом виде:

$$L(x) \equiv \alpha \frac{\partial^2 x}{\partial \theta^2} + 2\beta \frac{\partial^2 x}{\partial \theta \partial \varrho} + \gamma \frac{\partial^2 x}{\partial \varrho^2} + \left( \frac{\partial \alpha}{\partial \theta} + \frac{\partial \beta}{\partial \varrho} \right) \frac{\partial x}{\partial \theta} + \left( \frac{\partial \beta}{\partial \theta} + \frac{\partial \gamma}{\partial \varrho} \right) \frac{\partial x}{\partial \varrho} = 0, \quad (18)$$

предполагая, что первые производные коэффициентов  $\alpha$ ,  $\beta$ ,  $\gamma$  существуют и непрерывны. Для простоты предположим, что рассматривается квадратная сетка  $\Delta = \delta$ , и воспользуемся обычными аппроксимациями для вторых производных (см., например, [6, гл. III]). Обозначим через  $x_{kl}$  (в нумерации с двумя индексами) внутреннюю точку нашей сетки (см. рис. 3), полагая, что первый индекс возрастает вдоль радиусов, а второй — при изменении угла  $\theta$ . Как показывают непосредственные вычисления, мы получим уравнение:

$$\begin{aligned} & \frac{2}{\Delta^2} (\alpha_{kl} + \gamma_{kl}) x_{kl} - \left[ \frac{\gamma_{kl}}{\Delta^2} + \left( \frac{\partial \alpha}{\partial \theta} + \frac{\partial \beta}{\partial \varrho} \right)_{kl} \frac{1}{2\Delta} \right] x_{k+1,l} - \\ & - \left[ \frac{\gamma_{kl}}{\Delta^2} - \left( \frac{\partial \alpha}{\partial \theta} + \frac{\partial \beta}{\partial \varrho} \right)_{kl} \frac{1}{2\Delta} \right] x_{k-1,l} - \left[ \frac{\alpha_{kl}}{\Delta^2} + \left( \frac{\partial \beta}{\partial \theta} + \frac{\partial \gamma}{\partial \varrho} \right)_{kl} \frac{1}{2\Delta} \right] x_{k,l+1} - \\ & - \left[ \frac{\alpha_{kl}}{\Delta^2} - \left( \frac{\partial \beta}{\partial \theta} + \frac{\partial \gamma}{\partial \varrho} \right)_{kl} \frac{1}{2\Delta} \right] x_{k,l-1} + \frac{\beta_{kl}}{2\Delta^2} x_{k-1,l+1} - \\ & - \frac{\beta_{kl}}{2\Delta^2} x_{k+1,l+1} + \frac{\beta_{kl}}{2\Delta^2} x_{k-1,l+1} - \frac{\beta_{kl}}{2\Delta^2} x_{k-1,l-1} = 0. \quad (19) \end{aligned}$$

Если рассматриваемая внутренняя точка лежит на радиусе  $\theta = \frac{\pi}{2}$ , то при выписывании уравнения вида (19) учитывается, что функция  $x(\varrho, \theta)$  симметрична относительно указанного радиуса. Наконец, в том случае, когда эта точка является соседней к точке  $\varrho = 0$ , то при составлении уравнения вида (19) начало координат считается трехкратной точкой соответственно трем радиусам, пересекающимся в точке  $\varrho = 0$ . Получившаяся конечноразностная система уравнений (17), (18) содержит  $N_1 + N_2 = N = mn - 1$  уравнений относительно такого же количества неизвестных. Запишем эту систему в стандартном виде

$$\sum_{s=1}^N a_{\beta s} x_s = b_{\beta}, \quad \beta = 1, 2, \dots, N, \quad (20)$$

где  $b_{\beta}$  — вектор-столбец, содержащий известные величины, выражающиеся через значение  $x = -10 h$  функции  $x$  в точке  $\left(1, \frac{\pi}{2}\right)$ . Те диагональные элементы  $a_{\beta\beta}$  матрицы  $a_{\beta s}$ , которые входят в уравнения вида (19), положительны в силу первых двух неравенств (11). Диагональные же элементы

уравнений вида (17) будут положительными, если

$$\cos \theta - \beta(1, \theta) \sin \theta \geq 0, \quad \text{т. е.} \quad \beta(1, \theta) \leq \operatorname{ctg} \theta, \quad 0 < \theta < \frac{\pi}{2}. \quad (21)$$

Из этого условия и второго неравенства (11) вытекает также, что недиагональные элементы  $a_{\beta s}$ ,  $\beta \neq s$ , входящие в уравнения (17), будут положительными, причем среди них те, которые порождаются последним слагаемым уравнения (17), будут строго отрицательными. Этим последним свойством будут обладать и те внедиагональные элементы уравнений вида (19), которые включены в квадратные скобки, если при этом шаг  $\Delta > 0$  достаточно мал.

Вектор-столбец, стоящий в правой части уравнений, имеет только один элемент, способный принимать ненулевые значения. Этот элемент (обозначим его через  $b_1$ ) соответствует уравнению (17) при  $\theta_j = \frac{\pi}{2} - \Delta$  и равен  $-10h \left[ \sin \Delta - \beta \left( 1, \frac{\pi}{2} - \Delta \right) \cos \Delta \right]$ . Он будет, следовательно, отрицательным, если

$$\beta \left( 1, \frac{\pi}{2} - \Delta \right) < \operatorname{tg} \Delta, \quad \Delta > 0. \quad (22)$$

При этом условии будем также иметь

$$\sum_s a_{1s} = \frac{\cos \left( \frac{\pi}{2} - \Delta \right) - \beta \left( 1, \frac{\pi}{2} - \Delta \right) \sin \left( \frac{\pi}{2} - \Delta \right)}{\Delta} > 0. \quad (23)$$

В частности, условиям (21) — (23) удовлетворяет тождественно равная нулю функция  $\beta(q, \theta)$ . Покажем сейчас, что в этом случае определитель матрицы системы (20) отличен от нуля, т. е. что однородная система

$$\sum_{s=1}^N a_{\beta s} x_s = 0, \quad \beta = 1, 2, \dots, N, \quad (24)$$

имеет только нулевое решение. В противном случае существовало бы решение  $x_1, x_2, \dots, x_N$  системы (24), для которого  $x_k = \max(x_1, x_2, \dots, x_N) > 0$ . Это значение  $x_k$  не может быть равно  $x_1$ , т. е. не может приниматься в граничной точке рассматриваемой сетки, ближайшей к точке  $\theta = \frac{\pi}{2}$ . В самом деле, из соответствующего уравнения (17) мы получили бы

$$0 = \sum_s a_{1s} x_s \geq x_k \sum_s a_{1s} > 0,$$

что невозможно. Покажем, исходя из уравнения (17), что если  $x_k \neq x_{i+1}$ , то  $x_k \neq x_j$ . В самом деле,  $x_{i+1} < x_k$ , т. е.  $-x_{i+1} > -x_k$ , следовательно, если бы  $x_j = x_k$ , то

$$\begin{aligned} 0 &= \left[ \frac{\cos \theta_j}{\Delta} + \frac{\gamma_j \sin \theta_j}{\Delta} \right] x_k - \frac{\cos \theta_j}{\Delta} x_{i+1} - \frac{\gamma_j \sin \theta_j}{\Delta} x_i > \\ &> x_k \left[ \frac{\cos \theta_j}{\Delta} + \frac{\gamma_j \sin \theta_j}{\Delta} - \frac{\cos \theta_j}{\Delta} - \frac{\gamma_j \sin \theta_j}{\Delta} \right] = 0, \end{aligned}$$

поскольку  $(-x_i) \geq (-x_k)$ . Полученное неравенство противоречиво, следовательно, максимальное значение  $x_k$  не может приниматься в граничных точках.



Предположим поэтому, что значение  $x_k$  принимается в некотором внутреннем узле с номером  $k$ . Сумма элементов матрицы в  $k$ -й строке равна нулю, следовательно,

$$0 = \sum_s a_{ks} x_s = \sum_s a_{ks} (x_s - x_k) + x_k \sum_s a_{ks} = \sum_s a_{ks} (x_s^1 - x_k).$$

Каждое слагаемое  $a_{ks} (x_s^1 - x_k)$ , очевидно, неотрицательно, следовательно,  $x_k = x_s$  для всех  $s$ , при которых  $a_{ks} \neq 0$ . Таким образом, во всех внутренних точках имеем  $x_s = x_k$ . Рассматривая внутренние точки, примыкающие к оси  $\theta = 0$ , получаем  $x_k = 0$ , вопреки предположению. Полученное противоречие доказывает, что система (24) имеет только нулевое решение. Для уравнения вида (14) при  $\beta = 0$  и самосопряженных граничных условий аналогичные свойства матрицы конечноразностной системы известны (см., например, [7, гл. 5]). Однозначная разрешимость системы (20) имеет место, очевидно, и в том случае, когда функция  $\beta(\varrho, \theta)$  не является тождественным нулем, но принимает достаточно малые значения.

6. Непосредственное численное решение задачи (13), (14) проводилось по конечноразностной схеме, несколько отличающейся от той, которая описана выше. А именно, в терминах (неравномерной) сетки, описанной в начале п. 5, граничное условие (13) заменялось, как и раньше, конечноразностным уравнением (17). Для конечноразностной аппроксимации уравнения (14), вместо перехода к записи (18) с последующей заменой всех производных первого и второго порядков разностными отношениями, была использована схема, основанная на формулах

$$\begin{aligned} \left( \frac{\partial x}{\partial \varrho} \right)_{i,j} &= \frac{x_{i+1,j} - x_{i,j}}{\delta}, & \left( \frac{\partial x}{\partial \theta} \right)_{i,j} &= \frac{x_{i,j+1} - x_{i,j}}{\Delta}, \\ \left[ \frac{\partial}{\partial \theta} \left( \alpha \frac{\partial x}{\partial \theta} + \beta \frac{\partial x}{\partial \varrho} \right) \right]_{i,j} &= \frac{\left( \alpha \frac{\partial x}{\partial \theta} + \beta \frac{\partial x}{\partial \varrho} \right)_{i,j} - \left( \alpha \frac{\partial x}{\partial \theta} + \beta \frac{\partial x}{\partial \varrho} \right)_{i,j-1}}{\Delta}, & (25) \\ \left[ \frac{\partial}{\partial \varrho} \left( \gamma \frac{\partial x}{\partial \varrho} + \beta \frac{\partial x}{\partial \theta} \right) \right]_{i,j} &= \frac{\left( \gamma \frac{\partial x}{\partial \varrho} + \beta \frac{\partial x}{\partial \theta} \right)_{i,j} - \left( \gamma \frac{\partial x}{\partial \varrho} + \beta \frac{\partial x}{\partial \theta} \right)_{i-1,j}}{\delta}. \end{aligned}$$

В соответствии с этим в каждом внутреннем узле сетки уравнение (14) заменялось следующим:

$$\begin{aligned} x_{i,j} \left( \frac{\alpha_{i,j}}{\Delta^2} + \frac{2\beta_{ij}}{\Delta\delta} + \frac{\alpha_{i,j-1}}{\Delta^2} + \frac{\gamma_{i,j}}{\delta^2} + \frac{\gamma_{i-1,j}}{\delta^2} \right) - x_{i,j+1} \left( \frac{\alpha_{ij}}{\Delta^2} + \frac{\beta_{ij}}{\Delta\delta} \right) - \\ - x_{i+1,j} \left( \frac{\gamma_{i,j}}{\delta^2} + \frac{\beta_{ij}}{\Delta\delta} \right) - x_{i,j-1} \left( \frac{\alpha_{i,j-1}}{\Delta^2} + \frac{\beta_{i,j-1}}{\Delta\delta} \right) - \\ - x_{i-1,j} \left( \frac{\gamma_{i-1,j}}{\delta^2} + \frac{\beta_{i-1,j}}{\Delta\delta} \right) + x_{i+1,j-1} \frac{\beta_{i,j-1}}{\Delta\delta} + x_{i-1,j+1} \frac{\beta_{i-1,j}}{\Delta\delta} = 0. \end{aligned} \quad (26)$$

Чтобы оценить порядок погрешности, которая при этом допускается, предположим, что коэффициенты  $\alpha$ ,  $\beta$  и  $\gamma$  являются постоянными. Тогда (26) можно представить в виде

$$\begin{aligned} \alpha \frac{x_{i,j+1} - 2x_{i,j} + x_{i,j-1}}{\Delta^2} + \gamma \frac{x_{i+1,j} - 2x_{i,j} + x_{i-1,j}}{\delta^2} + \\ + 2\beta \left( \frac{x_{i+1,j} - x_{i,j} - x_{i+1,j-1} + x_{i,j-1}}{2\Delta\delta} + \frac{x_{i,j+1} - x_{i,j} - x_{i-1,j+1} + x_{i-1,j}}{2\Delta\delta} \right) = 0. \end{aligned} \quad (27)$$



Первые два разностных отношения аппроксимируют вторые производные  $\frac{\partial^2 x}{\partial \theta^2}$ ,  $\frac{\partial^2 x}{\partial \varrho^2}$ ; они были использованы выше при составлении уравнения (19), и, как известно, при этом допускается ошибка порядка  $\Delta^2$ ,  $\delta^2$  соответственно. Предположим, что функция  $x(\varrho, \theta)$  является достаточно гладкой, а разности  $\Delta$ ,  $\delta$  имеют одинаковый порядок малости. Пользуясь разложениями Тейлора в окрестности точки  $x_{i,j}$ , можно убедиться, что конечноразностное отношение, стоящее в формуле (27) множителем при  $2\beta$ , уклоняется от смешанной производной  $\frac{\partial^2 x}{\partial \theta \partial \varrho}$  на величину того же порядка малости  $o(\Delta^2) = o(\delta^2)$ .

Матрица конечноразностной системы, построенной при помощи уравнений (17), (26), будет диагонально преобладающей (см., например, [7, гл. 4]), если имеют место условия (11) и, кроме того,

$$\beta(\varrho, \theta) \leq 0, \quad -\frac{\beta}{\alpha} \leq \frac{\delta}{\Delta} \leq -\frac{\gamma}{\beta}. \quad (28)$$

Для определения значений  $r(\varrho, \theta)$  во внутренних узлах сетки интегрировалось уравнение  $\frac{\partial r}{\partial \theta} = \gamma \frac{\partial x}{\partial \varrho} + \beta \frac{\partial x}{\partial \theta}$ , используя условие  $r(\varrho, \frac{\pi}{2}) = 0$ :

$$\begin{aligned} \frac{r_{i,j+1} - r_{i,j}}{\Delta_j} = & \frac{1}{2} \gamma_{ij} \left( \frac{x_{i+1,j} - x_{i,j}}{\delta_i} + \frac{x_{i,j} - x_{i-1,j}}{\delta_{i-1}} \right) + \\ & + \frac{1}{2} \beta_{ij} \left( \frac{x_{i,j+1} - x_{i,j}}{\Delta_j} + \frac{x_{i,j} - x_{i,j-1}}{\Delta_{j-1}} \right). \end{aligned}$$

Для продолжения итерационного счета каждый раз вычисляются значения коэффициентов  $q$ ,  $\alpha$ ,  $\beta$ ,  $\gamma$  во всех узлах сетки по только что найденным значениям  $x$  и  $r$ . Функцию  $q$  удобно при этом представить в виде

$$q = \frac{\frac{1}{2} \left[ \left( \frac{\partial r}{\partial \varrho} - \frac{1}{\varrho} \frac{\partial x}{\partial \theta} \right) \cos \theta - \left( \frac{\partial x}{\partial \varrho} + \frac{1}{\varrho} \frac{\partial r}{\partial \theta} \right) \sin \theta \right] + \frac{i}{2} \left[ \left( \frac{\partial x}{\partial \varrho} + \frac{1}{\varrho} \frac{\partial r}{\partial \theta} \right) \cos \theta + \left( \frac{\partial r}{\partial \varrho} - \frac{1}{\varrho} \frac{\partial x}{\partial \theta} \right) \sin \theta \right]}{\frac{r}{\varrho \cos \theta} + \sqrt{\frac{r^2}{\varrho^2 \cos^2 \theta} + \frac{1}{4} \left[ \left( \frac{\partial x}{\partial \varrho} + \frac{1}{\varrho} \frac{\partial r}{\partial \theta} \right)^2 + \left( \frac{\partial r}{\partial \varrho} - \frac{1}{\varrho} \frac{\partial x}{\partial \theta} \right)^2 \right]}}.$$

Значения производной  $\frac{\partial x}{\partial \theta}$  в граничных узловых точках вычислялись с помощью разностных отношений

$$\left( \frac{\partial x}{\partial \theta} \right)_{N,j} = \frac{1}{2} \left( \frac{x_{N,j+1} - x_{N,j}}{\Delta_j} + \frac{x_{N,j} - x_{N,j-1}}{\Delta_{j-1}} \right). \quad (29)$$

Если учесть граничное условие (8), то значения производной  $\frac{\partial r}{\partial \theta}$  в тех же узлах можно считать с помощью соотношений

$$\left( \frac{\partial r}{\partial \theta} \right)_{N,j} = \left( \frac{\partial x}{\partial \theta} \right)_{N,j} \operatorname{ctg} \theta_r.$$

При вычислении значений производных по  $\varrho$  на границе области, используя систему (9), получили

$$\frac{\partial x}{\partial \varrho} = \alpha \frac{\partial r}{\partial \theta} - \frac{\beta}{\gamma} \left( \beta \frac{\partial r}{\partial \theta} + \frac{\partial x}{\partial \theta} \right), \quad \frac{\partial r}{\partial \varrho} = -\frac{1}{\gamma} \left( \beta \frac{\partial r}{\partial \theta} + \frac{\partial x}{\partial \theta} \right).$$

В узловых точках на осях  $\theta = 0$  и  $\theta = \frac{\pi}{2}$  удобно пользоваться соотношениями

$$\frac{\partial x}{\partial \theta} = -\frac{1}{\alpha} \left( \frac{\partial r}{\partial \varrho} + \beta \frac{\partial x}{\partial \varrho} \right), \quad \frac{\partial r}{\partial \theta} = \frac{1}{\alpha} \left( \frac{\partial x}{\partial \varrho} - \beta \frac{\partial r}{\partial \varrho} \right).$$

Во всех внутренних узловых точках значения производных вычисляются с помощью разностных отношений типа (29). Рассматриваемая задача численно решалась описанным методом на ЭВМ «Минск-22». Четверть круга

$0 \leq \varrho \leq 1$ ,  $0 \leq \theta \leq \frac{\pi}{2}$ , представлялась совокупностью 64 узловых

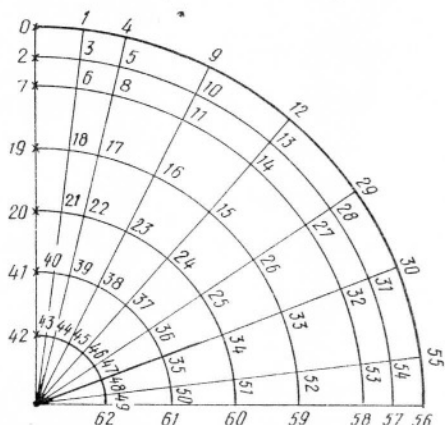


Рис. 4.

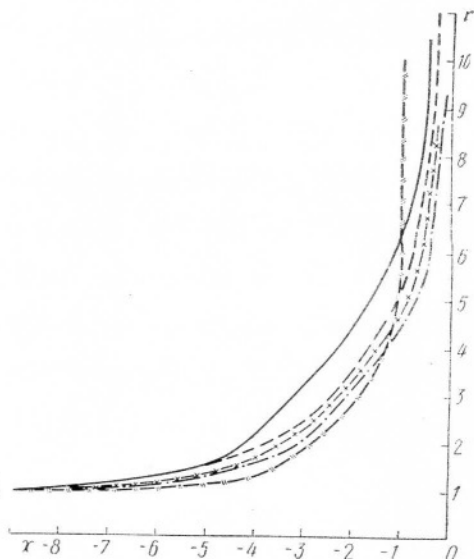


Рис. 5.

точек сетки. Сетка строилась неравномерная, более густая в окрестностях точек  $(1, \frac{\pi}{2})$ ,  $(1, 0)$ . Нумерация узлов производилась таким образом, чтобы движению в направлении струи соответствовало возрастание номера узла (рис. 4).

На рис. 5 приведены первые приближения к решению нелинейной задачи (6), (8) в сопоставлении с профилем плоской струи (линией, перечеркнутой штрихами, обозначено решение плоской задачи; сплошной — первое приближение осесимметричной; штрихпунктирной — решение осесимметричной задачи).

#### ЛИТЕРАТУРА

1. А. Игликов, Об осесимметрических течениях со свободной границей, ДАН СССР, т. 179, № 4, 1968.
2. А. Игликов, Об одной задаче со свободной границей, Изв. АН КазССР, сер. физ.-матем., № 1, 1969.
3. А. Игликов, Об осесимметрических течениях со свободной границей, Автореферат канд. дис., 1968.
4. И. Н. Векуа, Обобщенные аналитические функции, Физматгиз, М., 1959.
5. Бай-ши-и, Теория струй, «Мир», М., 1960.
6. В. Вазов и Дж. Форсайт, Разностные методы решения дифференциальных уравнений в частных производных, ИЛ, М., 1963.
7. И. Бабушка, Э. Витасек, М. Прагер, Численные процессы решения дифференциальных уравнений, «Мир», М., 1969.

Поступила 22.III 1971 г.

Институт прикладной математики и механики АН УССР